

斜張橋の形状による構造特性

大阪大学工学部 正員 前田幸雄
大阪大学工学部 正員 ○林正

1. まえがき 斜張橋は解析上幾つかの基本形式に分類されるが、本文では既に発表した基礎方程式¹⁾より各形式についての弾性方程式を導き、数値解析により形式別による構造特性の比較を行った。

2. 弾性方程式 1本のケーブルを有する斜張橋では、弾性方程式は幾何学的条件式より連立方程式となるが、 B_3, B_4 -Typeの塔が存在する場合にはさらに剛結条件式を加えなければならない。また、 A_1, A_2 -Typeでは弾性方程式を簡潔にするために、塔の平衡方程式をそのまま連立せた。斜張橋が形式の異なる3塔を有する場合でも弾性方程式は各々の塔について立てることができるので、以下第七番目の塔について式を導く。文中の記号については参考文献¹⁾を参照されたい。

(1) A_1 -Type^{*} まず、第七塔が A_1 -Typeの場合には、第*j*ケーブルに関する弾性方程式は次のようになる。

$$\left\{ \begin{array}{l} F_j V_j + \sum_{i=1}^n Y_{ji} V_i + \sum_{k=\ell}^m H_{jk} V_k - \sum_{p=1}^s \zeta_{jp} \bar{X}_p - L_j \beta_t + \Delta L_p \cot \alpha_j = \delta_{jo} \\ \sum_{k=\ell}^m L_k V_k = 0 \end{array} \right. \quad (1)_1$$

 ここで

$$H_{jk} = \begin{cases} L_j \cot \alpha_k (h_e - h_k) (2h_e h_k - h_j^2 - h_k^2) / 6h_e E_e J_t & (k \leq j) \\ L_k \cot \alpha_j (h_e - h_j) (2h_e h_k - h_j^2 - h_k^2) / 6h_e E_e J_t & (k \geq j) \end{cases} \quad (2)$$

式(1)は、ケーブル張力の鉛直成分 V_i 、ロッキングによって第七塔の回転角 β_t と B -Typeの第*p*塔による曲げモーメント \bar{X}_p を未知量としているが、不静定曲げモーメント \bar{X}_p は第*p*塔が B_1, B_2 -Typeなら式(4)¹⁾によりケーブル張力 X_{ip} に置き換えられる。また、 B_3, B_4 -Typeなら未知量としてそのまま式中に残る。主桁の水平変位 ΔL_p は第*p*塔の形式に応じて、式(3)¹⁾または式(6)¹⁾を用いる。

次に、第七塔が A'_1 -Typeの場合には他の塔の形式にて解く式(1)₁における ΔL_p の項を省く。
 (2) A_3 -Type : $F_j V_j + \sum_{i=1}^n Y_{ji} V_i + \sum_{k=\ell}^m H_{jk} V_k - \sum_{p=1}^s \zeta_{jp} \bar{X}_p + \Delta L_p \cot \alpha_j = \delta_{jo} \quad (j = \ell, \dots, m) \quad (3)$
 ここで

$$H_{jk} = \begin{cases} L_j \cot \alpha_k \cdot h_j (3h_k - h_j) / 6E_e J_t & (k \leq j) \\ L_k \cot \alpha_j \cdot h_k (3h_j - h_k) / 6E_e J_t & (k \geq j) \end{cases} \quad (4)$$

(3) B_1 -Type : $F_j V_j + \sum_{i=1}^n (Y_{ji} + \bar{L}_j Z_{ti}) V_i + \sum_{k=\ell}^m H_{jk} V_k - \sum_{p=1}^s (\zeta_{jp} + \bar{L}_j \psi_{ip}) \bar{X}_p = \delta_{jo} + \bar{L}_j \theta_{to} \quad (j = \ell, \dots, m) \quad (5)$
 ここで

$$H_{jk} = \begin{cases} \bar{L}_j \cot \alpha_k \cdot \bar{h}_j (3\bar{h}_k - \bar{h}_j) / 6E_e J_t & (k \leq j) \\ \bar{L}_k \cot \alpha_j \cdot \bar{h}_k (3\bar{h}_j - \bar{h}_k) / 6E_e J_t & (k \geq j) \end{cases} \quad (6)$$

(4) B_3 -Type : $\left\{ \begin{array}{l} F_j V_j + \sum_{i=1}^n Y_{ji} V_i + \sum_{k=\ell}^m H_{jk} V_k - \sum_{p=1}^s \zeta_{jp} \bar{X}_p + H_{tt} \bar{X}_t = \delta_{jo} \\ \sum_{i=1}^n Z_{ti} V_i - \sum_{k=\ell}^m K_{tk} V_k - \sum_{p=1}^s \psi_{ip} \bar{X}_p - K_{tt} \bar{X}_t = \theta_{to} \end{array} \right. \quad (j = \ell, \dots, m) \quad (7)_1$
 ここで

$$H_{jk} = \begin{cases} \cot \alpha_j \cdot \cot \alpha_k [h_j^2 (3h_k - h_j) - h_t^2 (3h_k - h_t)] / 6E_e J_t & (k \leq j) \\ \cot \alpha_j \cdot \cot \alpha_k [h_k^2 (3h_j - h_k) - h_t^2 (3h_k - h_t)] / 6E_e J_t & (k \geq j) \end{cases} \quad (8)$$

$$K_{tk} = h_t (2h_k - h_t) \cot \alpha_k / 2E_e J_t, \quad H_{tt} = h_t \bar{L}_j / E_e J_t, \quad K_{tt} = h_t / E_e J_t \quad (9)$$

(5) A_2, A_4, B_2, B_4 -Type ケーブルが塔上で滑動支持される A_2, A_4, B_2, B_4 -Typeではそれらが単独で用いられるか、またはそれぞれ A_1, A_3, B_1, B_3 -Typeと併用される。今、第*a, b*ケーブルが1本のケー

* 注. 式(1)は、参考文献¹⁾の式(2)(これを式(2)¹⁾と表わす)とは多少異な3か、これは式の表現を簡潔にいたためと、塔の曲げ変形による影響を考慮いたためである。

ケーブルで支えられており滑動支持されているとするとき、このケーブルに対する弾性方程式は式(1), (3), (5), (7)のうち $j=b$ の場合、式の両辺に $(\sin \alpha_b / \sin \alpha_a)$ を乗じるものと $j=a$ の式に加え、さらに $V_b = (\sin \alpha_b / \sin \alpha_a) \cdot V_a$ とし、 V_a と V_b の項を加え合せて不静定次数を下げればよい。

3. 形状による構造特性 (1) 計算例 構造特性の比較を行った斜張橋は、図-1, 2, 3 によると対称な3径間連続斜張橋で、その基本系である3径間連続橋はスパン比 $1.0 : 2.5 : 1.0$ とし、等断面とする。ケーブルの本数は8本で、主桁を等間隔で支持し、その張り方は放射状にてRADIAL-Type とした。塔上でのケーブルの支持方法は、固定と滑動支持を種々組合せた。

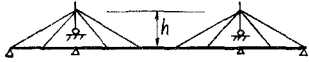


図-1 A₁, A₂-Type

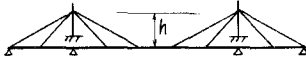


図-2 A₃, A₄-Type

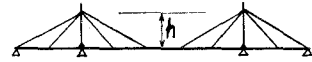


図-3 B₁, B₂-Type

与えた断面諸元は各場合とも共通で、全て無次元化した。この無次元量は塔およびケーブルの挠性に関する量と、ケーブルの偏心量と塔の高さに関するもので、既設の橋の平均的な値を用いた。

$$E_0 I_0 / E_i J_t = 10, \quad E_0 I_0 / l_0^2 E_i A_i = 1 \times 10^{-4}, \quad e_i / l_0 = 0, \quad h / l_0 = 0.1$$

(2) 計算結果 数値計算は①ケーブル張力の鉛直成分 ②ケーブル張力 ③塔の軸力 ④主桁の軸力 ⑤塔脚部の曲げモーメント ⑥主桁の曲げモーメント ⑦塔頂の水平変位 ⑧主桁のたわみの8つの諸量について全スパンを40等分した集中荷重による影響係数と満載等分布荷重による値を求めた。

(3) 構造特性 ① 塔の形式による差 Cableの支持形式が同じものの同士では、計算結果には殆んど相違がなかった。特に全ケーブルを塔上で固定した場合には、ケーブル張力の鉛直成分は実用上の範囲で完全に一致した。ただし、主桁の断面力および変形量は数パーセントの差しか現われなかつた。これは、かなり剛性の高いケーブルが塔をアンカーしたためで、両サイドのケーブルを主桁上で支持すれば形式による差はかなり現われてくると思われる。ただし、塔に周しては著しい相違があつた。

② ケーブルの支持形式による差 ケーブルの鉛直成分は全ケーブルが固定された場合には各成分は異なつか、1本でも滑動支持にすると残りの2本のケーブル張力の鉛直成分は殆んど等しくなり(A₁, A₂-Type では完全に一致する)、その最大値は減少する。これは弹性支承の反力係数が減少したことになり、ケーブルを滑動支持にすることによって斜張橋全体の剛性を低下させ、主桁では不利となる。この結果、ケーブル支持点に荷重を載荷した場合には他のスパンに大きな浮上りを生じるが、この現象は中央径間の中央部分では起きない。主桁のこの弹性挙動により、主桁の絶対最大・最小曲げモーメントはケーブルを滑動支持にすると側径間に生じ、固定支持に較べ最小モーメントの値は約2.5倍に増加する。

③ 以上は集中荷重に対する傾向であるが、満載等分布荷重に対してはケーブル張力の鉛直成分は塔の形式、ケーブルの支持形式の違いによる差は殆どなくなるので、他の値にもその差は現れない。これは、集中荷重が中央径間の中点に載荷された対称荷重に対する場合と同じ傾向である。

4. 結び 数値計算は計算量の関係から特定の形状に限定したが、3. で述べた斜張橋の性質は、基本連続橋のスパン割、主桁上のケーブル支持点、ケーブルの本数および断面諸元を変えると変わることと思われる。しかし、斜張橋の形状による弾性特性的大体の傾向はこれで把握できるものと思ふ。さらに、ケーブルを平行に張ったHARP-Typeの斜張橋の比較は、講演当日発表する。

1) 前田・林・大森：土木学会関西支部年次学術講演会講演概要；昭和43年5月